

## ПОВЕДЕНИЕ ПРИМЕСИ ЗОЛОТА В КРЕМНИИ ПРИ РАДИАЦИОННО-ТЕРМИЧЕСКИХ ВОЗДЕЙСТВИЯХ

**Антонова И. В., Васильев А. В., Панов В. И., Шаймееев С. С.**

Проведено исследование методом DLTS кремния, легированного золотом и облученного быстрыми электронами при повышенных температурах. Показано, что при облучении в температурном интервале 300—500 °C происходит взаимодействие атомов золота с компонентами пары Френкеля, в результате которого концентрация электрически активной компоненты твердого раствора золота (уровень  $E_c - 0.54$  эВ) уменьшается и вводится связанный с золотом дефект с уровнем  $E_c - (0.30 \pm 0.02)$  эВ. Облучение образцов, содержащих примесные скопления из атомов золота, при температуре 500 °C приводит к эффективному выходу атомов золота из скоплений в объем кристалла, что проявляется в замедлении распада электрически активной компоненты твердого раствора золота. Термообработки облученных образцов при  $T \approx 700$  °C позволяют полностью восстановить концентрацию электрически активного золота. Дефект с уровнем  $E_c - 0.30$  эВ исчезает при отжиге в интервале температур 650—750 °C.

Золото используется в полупроводниковой электронике в качестве технической примеси. Это обстоятельство стимулирует широкий круг исследований, посвященных поведению золота в кремнии, и к настоящему времени получен целый ряд интересных результатов. Установлено, что атомы золота в электрически активном состоянии занимают узловые положения в решетке кремния или находятся в непосредственной близости от них [1, 2]. Обнаружена корреляция в распределении золота и исходной донорной примеси [3]. Электрофизические характеристики Si⟨Au⟩ стабильны до температур  $\sim 500$  °C [2, 4, 5], а при более высоких температурах происходит распад твердого раствора золота с образованием мелких кластеров, включающих 4—5 атомов золота, центрами локализации которых, по-видимому, являются термодоноры. Вместе с тем необходимо отметить, что поведение золота в кремнии при одновременном воздействии температурных и радиационных полей практически не изучено, хотя известно, что электронное облучение также приводит к распаду твердого раствора золота. По данным работы [6], этот эффект объясняется радиационно-ускоренной диффузией атомов золота на стоки. Наполеон эффективное взаимодействие примесных атомов с компонентами пары Френкеля происходит при температурах  $> 300$  °C [6, 7], поэтому именно при повышенных температурах следует ожидать особенностей в поведении золота при радиационных воздействиях, а также возможного образования в процессе облучения новых дефектных центров, включающих атомы золота. С этой точки зрения применение селективных методик, позволяющих следить за конкретными состояниями примеси в кристалле, является наиболее информативным.

В связи с изложенным целью данной работы явилось исследование методом DLTS процессов распада электрически активной компоненты твердого раствора золота в кремнии с различным исходным характером распределения атомов золота по объему кристалла под действием высокотемпературного облучения быстрыми электронами и последующего отжига.

В качестве исходного материала использовался зонный кремний с концентрацией фосфора  $7.1 \cdot 10^{14}$  см<sup>-3</sup>, легированный золотом в процессе выращивания. Положение энергетических уровней и их концентрация определялись методом DLTS на барьерах Шоттки. Исследуемые образцы разделялись на две группы. В образцах первой группы золото было распределено по объему кристалла равно-

мерно, его концентрация составляла  $2.8 \cdot 10^{14} \text{ см}^{-3}$  (материал типа A). Ко второй группе отнесены образцы, в которых, кроме равномерно распределенного золота с концентрацией  $1.8 \cdot 10^{14} \text{ см}^{-3}$ , присутствовали локальные примесные скопления (материал типа B). Наличие локальных скоплений золота выявилось с помощью метода, описанного в [8], где показано, что в материале с локально неоднородным распределением примеси измеряемая методом DLTS концентрация  $N_{\text{Au}}$  меняется при вариации температуры наблюдения  $T_{\text{n}}$ . Из зависимости  $T_{\text{n}}$  для акцепторного уровня золота  $E_c - 0.54 \text{ эВ}$  определялось полное число электрически активных атомов в единице объема  $N_{\text{n}}$  (т. е. концентрация электрически активного золота с учетом незаряженных примесных атомов, локализованных в скоплениях). Для материала типа B  $N_{\text{n}} = 6 \cdot 10^{14} \text{ см}^{-3}$ .

Образцы облучались быстрыми электронами с энергией 3.5 МэВ в интервале температур 300—500 °C. В качестве контрольных образцов для облучения использовался зонный кремний с концентрацией фосфора  $5 \cdot 10^{14} \text{ см}^{-3}$ . Изохронный отжиг образцов (время отжига 30 мин) проводился при температурах 100—800 °C. После облучения и отжига с поверхности образцов травлением снимался слой толщиной 10—15 мкм, а затем наносились барьеры Шоттки.

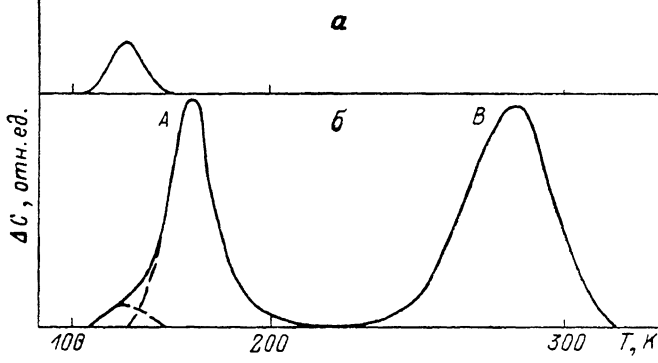


Рис. 1. Спектры DLTS для контрольного образца (a) и кремния с золотом (b), облученных электронами при  $T = 500 \text{ }^{\circ}\text{C}$ .

$t_1=1$ ,  $\Delta t=10 \text{ мс}$ . Уровни: A —  $E_c - 0.30$ , B —  $E_c - 0.54 \text{ эВ}$ .

Полученные результаты состоят в следующем.

На рис. 1 представлены спектры DLTS облученных при  $T_{\text{обл}} = 500 \text{ }^{\circ}\text{C}$  контрольных образцов (a) и образцов кремния, легированного золотом (b) (доза облучения  $\Phi = 5.6 \cdot 10^{15} \text{ см}^{-2}$ ).

Анализ спектров показал, что для образцов, облученных при повышенных температурах, в кремнии, легированном золотом, кроме ранее известного уровня  $E_c - 0.54 \text{ эВ}$ , наблюдается комплекс с уровнем  $E_c - (0.30 \pm 0.02) \text{ эВ}$  и сечением захвата  $\sigma_n \approx 8 \cdot 10^{-16} \text{ см}^{-2}$ , который вводится в концентрациях, сравнимых с концентрацией электрически активного золота. Скорость введения дефекта с уровнем  $E_c - 0.30 \text{ эВ}$  пропорциональна концентрации золота в исходных образцах. Этот дефект вводился и после термообработок материала в температурном интервале 600—700 °C (время отжига 30 мин), но в этом случае его концентрация не превышала  $4 \cdot 10^{12} \text{ см}^{-3}$ .

Результаты облучения электронами  $\text{Si}\langle\text{Au}\rangle$  при различных температурах приведены в таблице. Доза облучения составляла  $\Phi = 5.6 \cdot 10^{15} \text{ см}^{-2}$ . Видно, что скорость введения дефекта с уровнем  $E_c - 0.30 \text{ эВ}$  с ростом температуры облучения до 450 °C уменьшается в обоих типах кристаллов. Аналогичным образом ведет себя и концентрация дефекта с уровнем  $E_c - 0.54 \text{ эВ}$ . При 500 °C вновь наблюдается возрастание концентрации центров, и наиболее эффективно это происходит в материале типа B.

Дозовые зависимости концентраций дефектов для обоих типов материала представлены на рис. 2 ( $T_{\text{обл}} = 500 \text{ }^{\circ}\text{C}$ ). Для материала A (с однородно распределенным золотом) концентрация акцепторного уровня золота монотонно убывает (кривая 1). Концентрация дефекта с уровнем  $E_c - 0.30 \text{ эВ}$  сначала возрастает, а затем уменьшается, отслеживая ход изменения в концентрации акцепторного уровня золота (кривая 2).

Концентрация уровней  $E_c = 0.30$  и  $-0.54$  эВ в кремнии с однородно (A) и неоднородно (B) распределенным золотом после облучения электронами дозой  $\Phi = 5.6 \cdot 10^{15} \text{ см}^{-2}$  при различных температурах  $T$

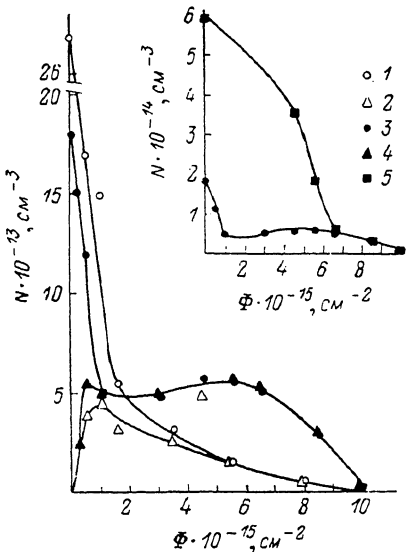
Тип материала	Уровни	$T, ^\circ\text{C}$				
		300	350	400	450	500
A	$E_c = -0.30$	$4.3 \cdot 10^{13}$	$9.8 \cdot 10^{12}$	$7.8 \cdot 10^{12}$	$6.7 \cdot 10^{12}$	$1.4 \cdot 10^{13}$
	$E_c = -0.54$	$4.2 \cdot 10^{13}$	$1.0 \cdot 10^{13}$	$8.0 \cdot 10^{12}$	$8.8 \cdot 10^{12}$	$1.5 \cdot 10^{13}$
B	$E_c = -0.30$	$3.2 \cdot 10^{13}$	$1.8 \cdot 10^{13}$	$1.3 \cdot 10^{13}$	$2.2 \cdot 10^{13}$	$5.8 \cdot 10^{13}$
	$E_c = -0.54$	$2.7 \cdot 10^{13}$	$1.3 \cdot 10^{13}$	$1.6 \cdot 10^{13}$	$1.5 \cdot 10^{13}$	$5.6 \cdot 10^{13}$

Для материала B дозовая зависимость несколько иная (кривые 3, 4). При дозах  $\Phi < 10^{15} \text{ см}^{-2}$  концентрация дефекта с уровнем  $E_c = -0.54$  эВ уменьшается при одновременном возрастании концентрации дефекта с уровнем  $E_c = -0.30$  эВ. Установившиеся при дозе  $\Phi = 10^{15} \text{ см}^{-2}$  концентрации дефектов практически не меняются до  $\Phi \approx 7 \cdot 10^{15} \text{ см}^{-2}$ , а затем наблюдается их дальнейший спад. При  $\Phi \approx 10^{16} \text{ см}^{-2}$  значения концентраций центров находятся за пределами чувствительности методики. С ростом дозы облучения для материала B наблюдается также уменьшение разницы между полной  $N_n$  и измеряемой  $N_{Au}$  концентрациями электрически активного золота (рис. 2, кривые 5, 1), которые при дозах  $\Phi > 7 \cdot 10^{15} \text{ см}^{-2}$  становятся равными ( $N_n = N_{Au}$ ).

Полученные результаты могут быть объяснены на основе взаимодействия компонент пары Френкеля, генерируемых облучением, с примесными атомами золота. В частности, спад электрически активной компоненты твердого раствора золота (уровень  $E_c = -0.54$  эВ), по-видимому, происходит вследствие вытеснения собственными междоузельными атомами атомов золота из узловых положений в решетке кремния.

Рис. 2. Дозовые зависимости концентрации центров  $E_c = -0.54$  (1),  $E_c = -0.30$  эВ (2) для материала типа A и тех же центров (4 и 3 соответственно) для материала типа B.

$T = 500^\circ\text{C}$ . На вставке — дозовая зависимость полной концентрации электрически активного золота  $N_n$  (5).



Характер экспериментальных зависимостей позволяет предположить, что дефектный центр с уровнем  $E_c = -0.30$  эВ является комплексом, включающим атом золота. Основанием для такого предположения является, во-первых, тот факт, что концентрация дефекта  $E_c = -0.30$  эВ зависит от содержания электрически активной компоненты твердого раствора золота в исходном материале; во-вторых, дозовая зависимость концентрации этого центра коррелирует с изменениями концентрации электрически активного золота.

Поскольку преимущественное образование дефекта с уровнем  $E_c = -0.30$  эВ происходит лишь в процессе облучения, можно предположить, что этот дефект представляет собой комплекс атома золота в узле с вакансией. Это соответствует тому, что по мере увеличения концентрации дефекта с уровнем  $E_c = -0.30$  эВ на начальных этапах облучения и уменьшения концентрации акцепторного уровня золота существенную роль начинает играть взаимодействие дефектов с  $E_c = -0.30$  эВ с междоузельными атомами (аннигиляция на центрах), что в конечном счете приводит наряду с уменьшением концентрации электрически активного золота к уменьшению концентрации и этого центра с ростом дозы облучения. Вытесненные из узлов атомы золота могут уходить на стоки [6] (на-

пример, дислокации) или образовывать мелкие электрически не активные примесные кластеры [2].

Характер дозовой зависимости для материала типа *B* также объясняется в рамках рассмотренной схемы процессов, если принять во внимание, что в результате радиационно-термических воздействий ( $T_{\text{об}}=500^{\circ}\text{C}$ ) происходит переход атомов золота из скоплений в объем кристалла. Дополнительное обогащение объема атомами золота приводит к замедлению процесса снижения концентрации электрически активной компоненты его твердого раствора и обуславливает постоянство концентрации наблюдаемых центров в интервале доз  $10^{15} \div 7 \cdot 10^{15} \text{ см}^{-2}$ . Процесс обогащения объема кристалла атомами золота за счет примесных скоплений подтверждается и данными по изменению полной концентрации электрически активного золота  $N_{\text{u}}$  (рис. 2, кривая 5). Действительно, для обоих центров наблюдается уменьшение концентрации при дозах  $\Phi > 7 \cdot 10^{15} \text{ см}^{-2}$ , когда происходит истощение примесных скоплений и полная концентрация электрически активного золота становится равной наблюдаемой.

Уменьшение концентрации электрически активного золота и комплекса с уровнем  $E_c=0.30 \text{ эВ}$  с ростом температуры облучения (см. таблицу) указывает на возрастание эффективности взаимодействия примесных атомов с компонентами пары Френкеля. Рост концентрации центров при  $T_{\text{об}}=500^{\circ}\text{C}$ , по-видимому, связан с увеличением подвижности атомов золота и вероятности их встраивания обратно в решетку. Более значительное возрастание концентрации дефектов при этой температуре для материала типа *B* по сравнению с материалом типа *A*, как уже отмечалось, обусловлено выходом атомов золота из скоплений в объем кристалла. Рассмотренные процессы не противоречиво дополняют результаты исследования состояний примеси золота в облученном германии [9, 10].

Изохронный отжиг образцов  $\text{Si}\langle\text{Au}\rangle$ , облученных при  $500^{\circ}\text{C}$ , показывает, что начиная с температур, превышающих  $T_{\text{об}}$ , наблюдается рост концентрации электрически активного золота, и при  $T=700^{\circ}\text{C}$  значение его концентрации равно значению в необлученных образцах. При более высоких температурах происходит отжиг акцепторного уровня золота. Комплекс с уровнем  $E_c=0.30 \text{ эВ}$  отжигается в интервале  $650 \div 750^{\circ}\text{C}$ .

Характерной особенностью термообработок при  $T > 700^{\circ}\text{C}$  является введение центра с уровнем  $E_c=(0.44 \pm 0.02) \text{ эВ}$ . Концентрация этого дефекта приблизительно равна изменению концентрации акцепторного уровня золота. Этот центр по своему энергетическому положению, сечению захвата носителей тока и стадии отжига совпадает с комплексом вакансия—фосфор ( $E$ -центр).

Таким образом, при высокотемпературном облучении  $\text{Si}\langle\text{Au}\rangle$  в результате взаимодействия компонент пары Френкеля с атомами примеси происходит распад электрически активной компоненты твердого раствора золота и вводится дефект с уровнем  $E_c=(0.30 \pm 0.02) \text{ эВ}$ ; наличие в образцах локальных скоплений из атомов золота приводит к уменьшению скорости распада твердого раствора. Высокотемпературное облучение и последующий отжиг  $\text{Si}\langle\text{Au}\rangle$ , содержащего локальные скопления золота, позволяют получить более равномерное распределение его по объему кристалла.

#### Л и т е р а т у р а

- [1] Постников В. С., Кирилов В. И., Капустин Ю. А.. Аммер С. А.. Козлов Ю. И. // ФТП. 1978. Т. 20. В. 11. С. 3509—3511.
- [2] Баграсов Н. Т., Власенко Л. С., Лебедев А. А. // ЖТФ. 1985. Т. 55. В. 11. С. 2149—2169.
- [3] Баграев Н. Т., Вихнин В. С. // ЖЭТФ. 1984. Т. 59. В. 1. С. 200—212.
- [4] Бадалов А. З. // ФТП. 1972. Т. 6. В. 5. С. 789—792.
- [5] Masami Morooka, Hajime Tomokage, Hajime Kitagawa, Masayuki Yoshida. // Japan. J. Appl. Phys. 1985. V. 24. N 2. P. 133—136.
- [6] Казаринов Ю. Н., Козловский В. В., Ломасов В. Н., Питкевич М. В. // ФТП. 1986. Т. 20. В. 9. С. 1577—1581.
- [7] Афонин О. Ф., Козловский В. В., Ломасов В. Н., Пилькевич Л. Я., Питкевич М. В. // ЖТФ. 1979. Т. 49. В. 11. С. 2446—2449.
- [8] Антонова И. В., Васильев А. В., Панов В. И., Шаймееев С. С. // ФТП. 1988. Т. 22. В. 6. С. 998—1003.
- [9] Бояркина Н. И., Смирнов Л. С., Стась В. Ф. // ФТП. 1975. Т. 9. В. 2. С. 376—378.
- [10] Васильева Е. Д., Емцев В. В., Машовец Т. В. // ФТП. 1983. Т. 17. В. 1. С. 52—56.